

**КРИВЫЕ НАМАГНИЧИВАНИЯ ЗОННЫХ
МЕТАМАГНЕТИКОВ $Y_{1-t}R_t(Co_{0.92}Al_{0.08})_2$ С МАЛЫМИ
КОНЦЕНТРАЦИЯМИ РЕДКОЙ ЗЕМЛИ (R = Gd, Tb, Dy)**

© *T. Goto*, И. С. Дубенко, Н. П. Колмакова, К. Коуи*,
Р. З. Левитин, А. С. Маркосян, М. Ю. Некрасова*

Брянский институт транспортного машиностроения, 241035 Брянск, Россия

* Institute for Solid State Physics, University of Tokyo, Tokyo, Japan

(Поступила в Редакцию 10 января 1996 г.)

В окончательной редакции 2 июля 1996 г.)

Изложен теоретический подход, позволяющий рассчитывать кривые намагничивания феримагнетика, одна из подрешеток которого является магнитно-нестабильной. Измерены кривые намагничивания зонных метамагнетиков $Y_{1-t}R_t(Co_{0.92}Al_{0.08})_2$ с малыми концентрациями тяжелых редких земель (Gd, Tb, Dy) в импульсных полях до 42 Т при $T = 4.2$ К и проведено их численное моделирование в приближении молекулярного поля.

Магнитные свойства феримагнетиков, одна из магнитных подрешеток которых является магнитно-нестабильной, т. е. в магнитном поле претерпевает метамагнитный переход из слабомагнитного в сильномагнитное состояние, представляют большой интерес как в экспериментальном, так и в теоретическом плане. Удобными модельными соединениями такого типа являются редкоземельные фазы Лавеса типа RCO_2 , в которых подсистема зонных d -электронов выступает в качестве нестабильной подрешетки.

Соединения $Y(Co_{1-x}Al_x)_2$ с немагнитным иттрием являются зонными метамагнетиками: магнитное поле индуцирует в них переход из парамагнитного (или слабоферромагнитного при $x \geq 0.12$) в сильномагнитное состояние [1], причем поле метамагнитного перехода H_m сильно зависит от концентрации алюминия [2]. В редкоземельных интерметаллических соединениях $Y_{1-t}R_t(Co_{1-x}Al_x)_2$ кроме магнитно-нестабильной зонной подсистемы имеется также магнитная подсистема локализованных $4f$ -электронов. В случае тяжелых редких земель (РЗ) в отсутствие поля в этих соединениях реализуется антипараллельное коллинеарное упорядочение магнитных моментов M_f и M_d f - и d -подсистем, поскольку $f-d$ -обмен отрицателен. Из самых общих соображений следует, что процессы намагничивания в зонной подсистеме соединений с тяжелыми РЗ отличаются от процессов намагничивания в базовом соединении $Y(Co_{1-x}Al_x)_2$, поскольку эффективное поле, действующее на магнитно-нестабильную подсистему, определяется как внешним полем, так и $f-d$ -обменом и зависит от РЗ и ее

концентрации. Поэтому исследования магнитных свойств соединений $Y_{1-t}R_t(Co_{1-x}Al_x)_2$ с разными концентрациями РЗ позволяют получать информацию о величине обменного $f-d$ -взаимодействия в соединениях типа RCO_2 .

В данной работе изложен теоретический подход, позволяющий рассчитывать кривые намагничивания таких сложных магнитных систем с учетом их реальных параметров, и продемонстрированы возможности моделирования кривых намагничивания на примере соединений $Y_{1-t}R_t(Co_{0.92}Al_{0.08})_2$ с малыми концентрациями РЗ ($R = Gd, Tb, Dy, t \lesssim 0.06$). Нами измерены и рассчитаны кривые намагничивания также и для соединений с $R = Ho, Er, Tm$, они будут приведены в другой работе.

1. Теоретический подход

Для расчета кривых намагничивания используем простейшее приближение молекулярного поля. Магнитные свойства магнитно-неустойчивой d -подсистемы будем описывать с помощью реальной кривой намагничивания $M_d^{\exp}(H)$ базового (без РЗ) соединения $Y(Co_{0.92}Al_{0.08})_2$ (рис. 1), что позволяет учитывать истинный характер метамагнитного перехода и восприимчивость d -подсистемы.

В приближении молекулярного поля термодинамический потенциал двухподрешеточного $f-d$ -феримагнетика может быть записан в виде

$$G(M_d, H, T) = F_d - HM_d - tk_B T \ln Z. \quad (1)$$

Поскольку термодинамический потенциал d -подсистемы $F_d = \int_0^{M_d} \times H^{\exp}(M_d) dM_d$, мы используем экспериментальную кривую намагничивания базового соединения для вычисления F_d как площади под кривой $H^{\exp}(M_d)$. Статистическая сумма $Z f$ -подсистемы равна

$$Z = sh \left[(2J + 1) |H + \lambda_{fd} M_d | \mu_f / 2Jk_B T \right] / sh \left[|H + \lambda_{fd} M_d | \mu_f / 2Jk_B T \right], \quad (2)$$

где J — полный угловой момент РЗ, λ_{fd} — параметр $f-d$ -обмена ($\lambda_{fd} < 0$), $\mu_f = g_J J \mu_B$, g_J — фактор Ланде. Решая уравнение состояния ($\partial G / \partial M_d = 0$)

$$H^{\exp}(M_d) = H + \lambda_{fd} t M_f,$$

$$M_f = \mu_f B_J \left(|H + \lambda_{fd} M_d | \mu_f / k_B T \right) \quad (3)$$

для всех возможных коллинеарных и неколлинеарных фаз и выбирая решение с минимальным значением термодинамического потенциала для данных T и H , можно построить кривые намагничивания, если известны значения параметра λ_{fd} .

Величины λ_{fd} для соединений $Y_{1-t}R_t(Co_{0.88}Al_{0.12})_2$ были определены в [3] из анализа кривых намагничивания в неколлинеарной фазе. Кроме того, значения λ_{fd} могут быть пересчитаны через параметры A спинового обменного $f-d$ -взаимодействия, которые приведены в [4], по формуле (см. [4])

$$\lambda_{fd} = AZ_f(g_J - 1)/g_J N_d \mu_B, \quad (4)$$

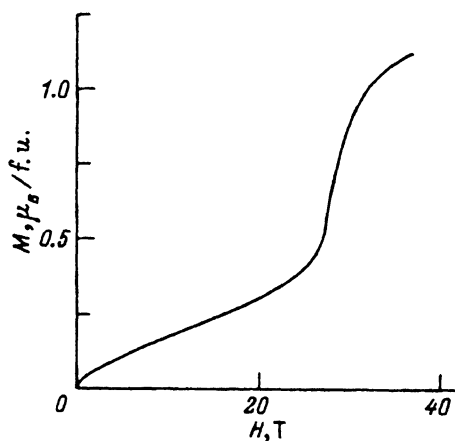


Рис. 1. Экспериментальная кривая намагничивания $\text{Y}(\text{Co}_{0.92}\text{Al}_{0.08})_2$ при $T = 4.2 \text{ K}$.

где N_d — число d -ионов на формульную единицу, Z_f — число ближайших d -ионов для f -иона. Параметры A спинового обменного $f-d$ -взаимодействия были определены из температуры упорядочения T_c соединений RCO_2 [4–6].

В соответствии с магнитными фазовыми диаграммами, рассчитанными в нашей работе [7] для ферримагнетика с одной магнитно-неустойчивой подсистемой, анализировать исходное состояние $\text{Y}_{1-t}\text{R}_t(\text{Co}_{0.92}\text{Al}_{0.08})_2$ с разными R и t и его эволюцию в магнитном поле удобнее, разделяя возможные ситуации по величине $f-d$ -обменного взаимодействия. Используя терминологию [7], соединения с $R = \text{Gd}, \text{Tb}, \text{Dy}$ следует отнести к случаю промежуточного обмена

$$H_m/m > \lambda > H_m/M, \quad \lambda = |\lambda_{fd}|, \quad (5)$$

где H_m — поле метамагнитного перехода, m и M — намагниченности d -подсистемы вблизи метамагнитного перехода в слабо- и сильномагнитной фазах соответственно. Соединения с $R = \text{Gd}$ и Tb удовлетворяют условию $\lambda(M + m) - 2H_m > 0$ и описываются магнитной фазовой диаграммой, из которой следует, что при малых концентрациях РЗ поле метамагнитного перехода должно уменьшаться с ростом t . Dy -соединение этому условию не удовлетворяет, его магнитная фазовая диаграмма существенно другая, и поле метамагнитного перехода с ростом концентрации растет. Расчеты показывают, что исходным состоянием для Tb - и Dy -соединений является ферримагнитное с M_f по полю. Это означает, что концентрации РЗ превышают концентрационную точку компенсации для слабомагнитного состояния, т. е. $t > t_w = m/\mu_f$. При увеличении поля эволюция магнитного состояния в разных соединениях происходит по-разному. В зависимости от РЗ и ее концентрации имеют место различные последовательности магнитных состояний: переход в слабое ферромагнитное, а затем сильное ферромагнитное состояние ($R = \text{Dy}$ при $t = 0.04$ и 0.06); переход в слабое ферромагнитное, а затем сильное ферримагнитное состояние с M_d по полю ($R = \text{Gd}$), происходящий в зависимости от величины λ_{fd} скачкообразно ($\lambda_{fd} = -62 \text{ T} \cdot \text{f.u.}/\mu_B$) либо плавно ($|\lambda_{fd}| > 66 \text{ T} \cdot \text{f.u.}/\mu_B$).

2. Экспериментальные результаты и обсуждение

Образцы синтезировались по стандартной технологии из исходных компонент в электродуговой печи с последующим гомогенизирующим отжигом. Поскольку магнитные свойства соединений $Y_{1-t}R_t(Co_{0.92}Al_{0.08})_2$ весьма чувствительны к изменению концентрации алюминия, производилось исследование состава образцов с помощью локального структурного микроанализатора фирмы «Camebax» (Франция) и для измерений выбирались только образцы, в которых концентрация алюминия отличалась не более чем на 3 % от заданной. Измерения кривых намагничивания в импульсных полях до 42 Т (длительность импульса 9 ms) при температуре 4.2 К производились индукционным методом.

На рис. 2–4 приведены кривые намагничивания соединений $Y_{1-t}R_t(Co_{0.92}Al_{0.08})_2$ для $R = Gd, Tb, Dy$ соответственно. Видно, что кривые намагничивания отличаются от кривых намагничивания соединения $Y(Co_{0.92}Al_{0.08})_2$ (рис. 1) по-разному для разных R и t , некоторые не только количественно, но и качественно. В случае $R = Gd$ и Tb поле метамагнитного перехода с ростом концентрации РЗ уменьшается. Для Dy -соединения поле метамагнитного перехода увеличивается с ростом t , так что для наибольшей концентрации $t = 0.06$ в полях ~ 40 Т метамагнитный переход только начинается. Обращает на себя внимание значительный гистерезис на кривых намагничивания для Tb - и Dy -соединений, причем петля гистерезиса в случае Dy -соединения почти одинакова для $t = 0.02$ и 0.04 , а в случае Tb -соединения — для $t = 0.04$ она примерно в 3 раза шире, чем для $t = 0.02$.

1) $Y_{1-t}Gd_t(Co_{0.92}Al_{0.08})_2$. Наилучшее согласие экспериментальных и рассчитанных кривых намагничивания для Gd -соединения достигается при значении обменного параметра λ_{fd} , превышающем известные величины. При $\lambda_{fd} = -62 \text{ T} \cdot \text{f.u.}/\mu\text{B}$ [3] кривая намаг-

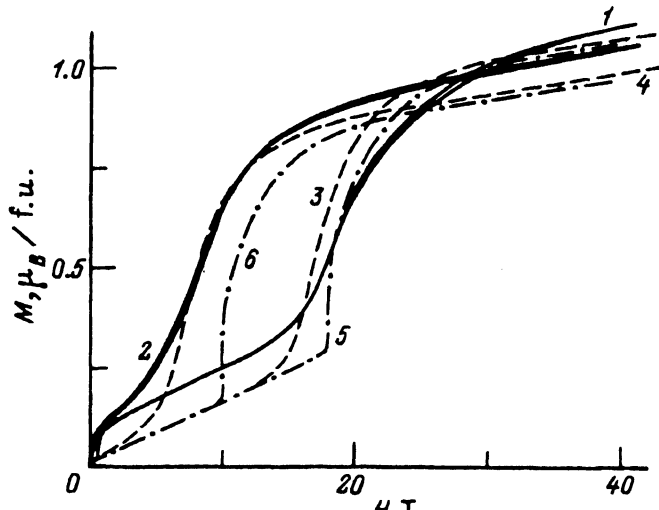


Рис. 2. Кривые намагничивания $Y_{1-t}Gd_t(Co_{0.92}Al_{0.08})_2$ при $T = 4.2$ К.

Сплошные линии — эксперимент, штриховые — расчет с $\lambda_{fd} = -71 \text{ T} \cdot \text{f.u.}/\mu\text{B}$, штрихпунктирные — расчет с $\lambda_{fd} = -62 \text{ T} \cdot \text{f.u.}/\mu\text{B}$. t : 1, 3, 5 — 0.022, 2, 4, 6 — 0.042.

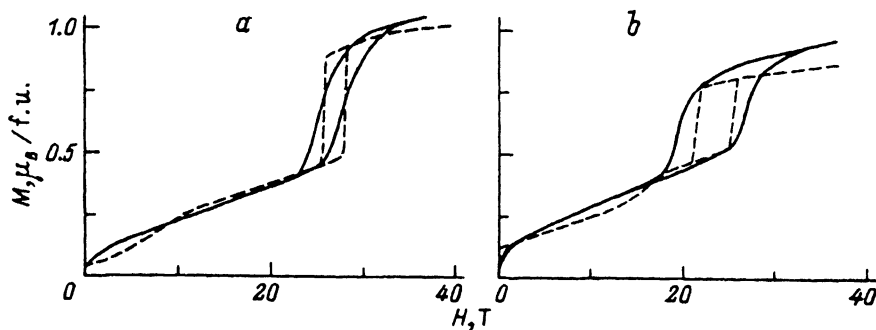


Рис. 3. Кривые намагничивания $Y_{1-t}Tb_t(Co_{0.92}Al_{0.08})_2$ при $T = 4.2$ К для двух концентраций Tb.

$t: a = 0.02, b = 0.04$. Сплошные линии — эксперимент, штриховые — расчет с $\lambda_{fd} = -43$ Т·ф.и./ μ_B .

ничивания при $t = 0.042$ характеризуется значительно большим полем метамагнитного перехода, чем на эксперименте (рис. 2); при $\lambda_{fd} = -58.2$ Т·ф.и./ μ_B [4] расхождение становится еще большим. Достаточно хорошее описание кривых получается при $\lambda_{fd} = -71$ Т·ф.и./ μ_B (рис. 2), однако нужно отметить меньшую величину рассчитанной намагниченности по сравнению с экспериментальной. Из рис. 2 видно, что при описании кривых намагничивания большее предпочтение следует отдавать кривой намагничивания для большей концентрации как более чувствительной к влиянию РЗ.

2) $Y_{1-t}Tb_t(Co_{0.92}Al_{0.08})_2$. Рассчитанные при $\lambda_{fd} = -54$ Т \times ф.и./ μ_B [3] кривые намагничивания существенно отличаются от экспериментальных. Например, для $t = 0.04$ метамагнитный переход по расчетам располагается вблизи 12 Т, что в 2 раза меньше, чем на эксперименте. Наилучшее согласие экспериментальных и теоретических кривых достигается при $\lambda_{fd} = -43$ Т·ф.и./ μ_B (рис. 3, а, б). Количественного описания петли гистерезиса достичь не удается. Однако расчет при одинаковой ширине базовой петли гистерезиса (для соединения без РЗ) дает существенно более широкую (в 1.5–2 раза) петлю гистерезиса для соединения с большей концентрацией Tb. Именно такая закономерность наблюдается на эксперименте. Отметим, что более существенное, чем в случае других РЗ, уширение петли гистерезиса для Tb-соединения по сравнению с базовой связано, по нашему мнению, с тем, что метамагнитный переход в Tb-соединении происходит скачкообразно, резко, поскольку при нем изменяется ориентация магнитного момента стабильной подрешетки (f -подсистемы). Метамагнитные переходы с изменением состояния только магнитно-неустойчивой подсистемы происходят более плавно (см. [7]).

3) $Y_{1-t}Dy_t(Co_{0.92}Al_{0.08})_2$. На рис. 4, а–с приведены экспериментальные и теоретические зависимости $M(H)$ для Dy-соединений. Во всех случаях, кроме соединения с $t = 0.02$, вид кривых намагничивания, рассчитанных теоретически, одинаков для разных λ_{fd} и качественно согласуется с экспериментом. Для $t = 0.02$ вид теоретических зависимостей резко меняется при изменении значения λ_{fd} (рис. 4, а). Отметим также, что значения λ_{fd} , для которых достигается наилучшее согласие

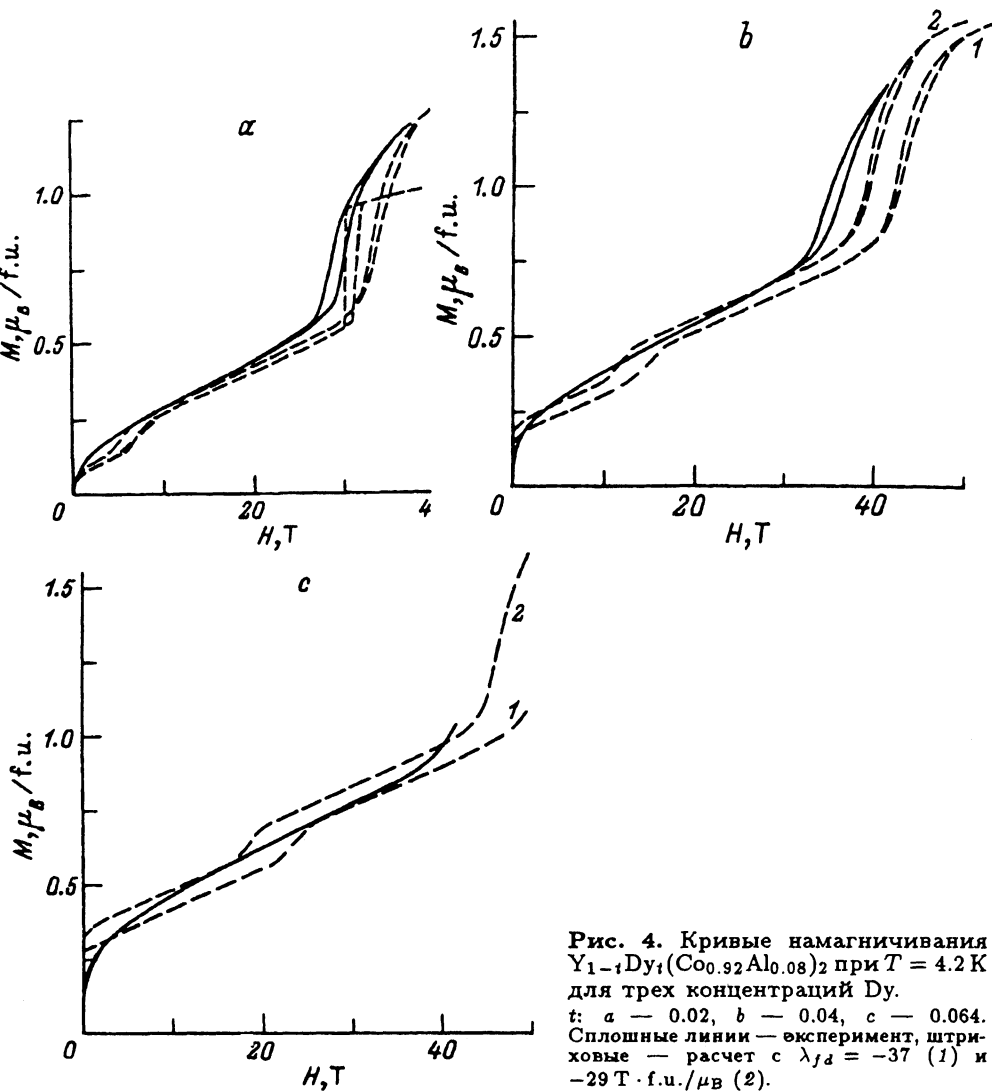


Рис. 4. Кривые намагничивания $\text{Y}_{1-t}\text{Dy}_t(\text{Co}_{0.92}\text{Al}_{0.08})_2$ при $T = 4.2 \text{ К}$ для трех концентраций Dy.

t: *a* — 0.02, *b* — 0.04, *c* — 0.064.
Сплошные линии — эксперимент, штриховые — расчет с $\lambda_{fd} = -37$ (1) и
 $-29 \text{ Т} \cdot \text{f.u.}/\mu_B$ (2).

теории с экспериментом, оказываются разными для Dy-соединений с различными t . Это можно объяснить, как показывают расчеты, сложностью магнитной фазовой диаграммы соединения Dy в этом диапазоне концентраций и ее резкой чувствительностью к малым изменениям величины λ_{fd} . Обращают на себя внимание изломы на рассчитанных кривых намагничивания в полях, значительно меньших поля метамагнитного перехода, которые на эксперименте не наблюдаются. Эти изломы соответствуют размагничиванию слабомагнитной *d*-подсистемы и переходу соединения из ферромагнитного в ферромагнитное состояние. Для корректного моделирования таких фрагментов кривых намагничивания соединений с магнитными РЗ необходимо иметь достаточную экспериментальную информацию о начальном участке кривой намагничивания базового соединения.

В целом описание экспериментальных кривых намагничивания можно считать вполне удовлетворительным, учитывая, что мы использовали простейшее приближение молекулярного поля. Необходимо, однако, принимать во внимание то, что концентрации РЗ малы, и поэтому приближение молекулярного поля может быть недостаточно точным и необходимо учитывать магнитную гетерогенность структуры. Кроме того, при расчете мы не учитывали эффектов кристаллического поля, которые могут привести к возникновению магнитной анизотропии, отличию магнитного момента РЗ от его значения для свободного иона, к небриллюзновской зависимости намагниченности этой подсистемы от внешних параметров. Учет перечисленных факторов при расчете процессов намагничивания в ферримагнетиках с магнитно-неустойчивой подсистемой является весьма интересной и сложной задачей, которой будут посвящены наши дальнейшие работы.

Работа выполнена частично при поддержке INTAS (проект 94-3569) и РФФИ (проект 96-02-16373).

Список литературы

- [1] В.В. Александрян, А.С. Лагутин, Р.З. Левитин, А.С. Маркосян, В.В. Снегирев. ЖЭТФ **89**, 1, 271 (1985).
- [2] T. Goto, T. Sakakibara. Techn. Rep. ISSP. Ser. A, **2550** (1992).
- [3] И.С. Дубенко, Р.З. Левитин, А.С. Маркосян, А.Ю. Соколов, В.В. Снегирев. ЖЭТФ **107**, 2, 548 (1995).
- [4] N.H. Duc, T.D. Hien, D. Givord, J.J.M. Franse, F.R. de Boer. J. Magn. Magn. Mater. **124**, 1, 305 (1993).
- [5] D. Bloch, R. Lemaire. Phys. Rev. B**2**, 7, 2648 (1970).
- [6] E. Belorizky, M.A. Fremy, J.P. Gavigan, D. Givord, H.S. Li. J. Appl. Phys. **61**, 8, 3971 (1987).
- [7] I.S. Dubenko, N.P. Kolmakova, R.Z. Levitin, A.S. Markosyan, A.K. Zvezdin. J. Magn. Magn. Mater. **153**, 1, 207 (1996).